

## II-108 帆水路における内部境界層の発達機構

東京工業大学 正員 吉川秀夫

同上 正員 福岡捷二

日本テトラボッド(株) ○前田 建

株式会社商組 鎌 陸郎

### 1. まえがき

十分に発達した境界層をもつ一様粗度上の流れが、異なる粗度上を流れると粗度の不連続点から新しい境界層の発達がみられ下流方向に徐々にその厚さを増す。前者を外部境界層、後者を内部境界層と呼ぶ。流れが粗度の不連続点に入ると新しい粗度に応じた境界層はすぐには発達せず当然外部境界層と内部境界層が相互に影響し合い十分な流下後に両層の一致が見出される。内部境界層の発達機構に関する研究としては空気流で行なわれた Elliott の研究がある。Elliott は流体が無限まで広がるとして、境界層内の流量変化は全体に対して影響を及ぼさないと考えたが、帆水路のように自由表面が存在し内部境界層が水深に比して無視出来ないような大きさをもつ流れには流量の連続条件と重力の影響が重要であり Elliott の解の適用性には疑問がある。又帆水路流の内部境界層について林らは実験的に調べていい。

### 2. 理論解析

$x < 0$  で一様粗度  $\epsilon'$

$x \geq 0$  で一様粗度  $\epsilon$  上の流れを考える。

$x = 0$  で既に十分境界層が水面に到達している状態を考えると内部と外部境界層の界面に強い剪断力  $\tau_0$  が働く。内部境界層内に control-volume boundary BCDE を考えると、(図-1)運動量方程式は

$$\begin{aligned} -\frac{d}{dx} \int_{0}^{\delta} \rho U^2 dz dx + U_s \frac{d}{dx} \int_{0}^{\delta} \rho U dz dx \\ = \frac{d}{dx} \int_{0}^{\delta} P dz dx - \int_{0}^{\delta} P dz + \tau_0 dx - \tau_s dx - g \delta \sin \theta dx \quad (1) \end{aligned}$$

ここに  $\delta$  は内部境界層厚である。

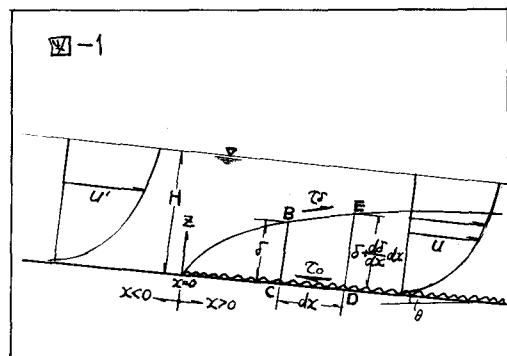
圧力  $P$  を静水圧分布、水深  $H$  を一定と仮定すると方程式(1)は

$$-\frac{d}{dx} \int_{0}^{\delta} U^2 dz + U_s \frac{d}{dx} \int_{0}^{\delta} U dz = \frac{\tau_0}{\rho} - \frac{\tau_s}{\rho} - g \delta \sin \theta \quad (2)$$

速度分布を(図-2)のように仮定する。すなはち

$x < 0$

$$U = \begin{cases} 0 & (0 \leq z \leq z_0) \\ \frac{U_s}{k} \ln \frac{z}{z_0} & (z_0 \leq z \leq H) \end{cases} \quad (3-1)$$



$x \geq 0$

$$U = \begin{cases} 0 & (0 \leq z \leq z_0) \\ \frac{U_*}{K} \ln \frac{z}{z_0}, (z_0 \leq z \leq \delta) \\ \frac{U'_*}{K} \ln \frac{z}{z'_0} + \left( \frac{U_*}{K} \ln \frac{\delta}{z_0} - \frac{U'_*}{K} \ln \frac{\delta}{z'_0} \right) & (\delta \leq z \leq H) \end{cases} \quad (3-2)$$

prime をつけた物理量は内部境界層の外側の値を意味している。

流量の連続条件は

$$\int_{z'_0}^H \frac{U'_*}{K} \ln \frac{z}{z'_0} dz = \int_{z_0}^{\delta} \frac{U_*}{K} \ln \frac{z}{z_0} dz + \int_{\delta}^H \left\{ \frac{U'_*}{K} \ln \frac{z}{z'_0} + \left( \frac{U_*}{K} \ln \frac{\delta}{z_0} - \frac{U'_*}{K} \ln \frac{\delta}{z'_0} \right) \right\} dz \quad (4)$$

関係式(4)を整理すると

$$U_* = U'_* \left( 1 + \frac{m \cdot n \ln m + 1 - m}{m \cdot n \ln z_0 - m z_0 + m} \right)$$

$$= U'_* \left( 1 + \frac{A}{f} \right) \quad (5)$$

ここで

$$z'_0 = \frac{\delta}{z_0}, \quad m = \frac{z_0}{z'_0}, \quad n = \frac{H}{z_0}, \quad A = m \cdot n \ln m + 1 - m \quad f = m \cdot n \ln z_0 - m z_0 + m$$

(2)式と(5)式を連立で解くのであるが、このみつりが問題となる。ここでは Elliott と同様に

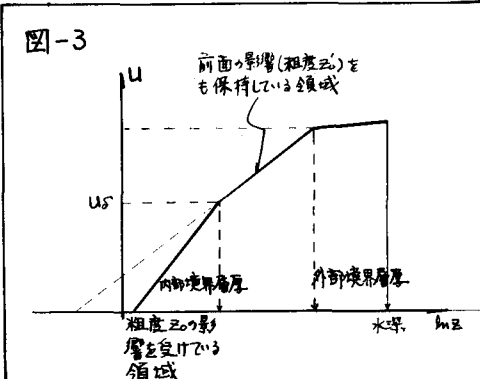
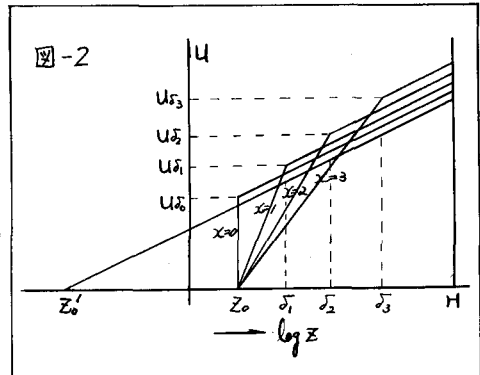
$$C_s = f U_*^2, \quad C_0 = f U_*^2$$

として計算する。その時次式を得る。

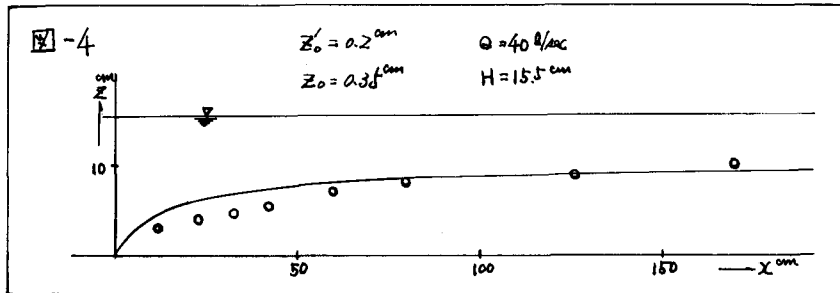
$$\int_1^{z_1} \frac{\frac{z_0}{z'_0} (f+A)(m \cdot n \frac{1}{z'_1} - m) A \{ z_1 (\ln z_1)^2 - 3 z_1 \ln z_1 - \ln z_1 + 4 z_1 - 4 \}}{(f+A)^2 \cdot f - f^3 - \frac{z_0 z_1}{H} f^3} dz_1 = \int_0^x dx \quad (6)$$

### 3. 実験結果と考察

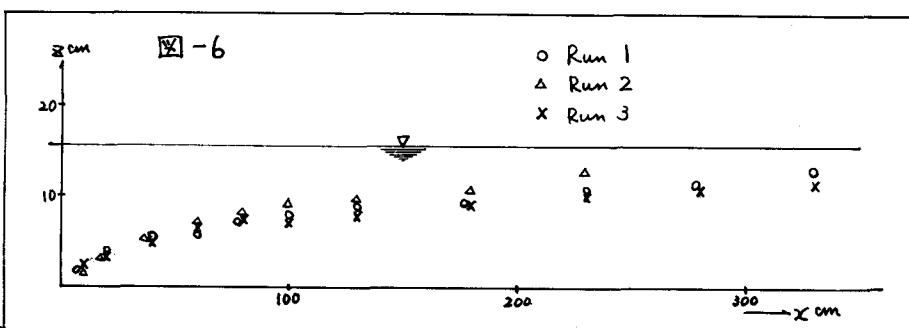
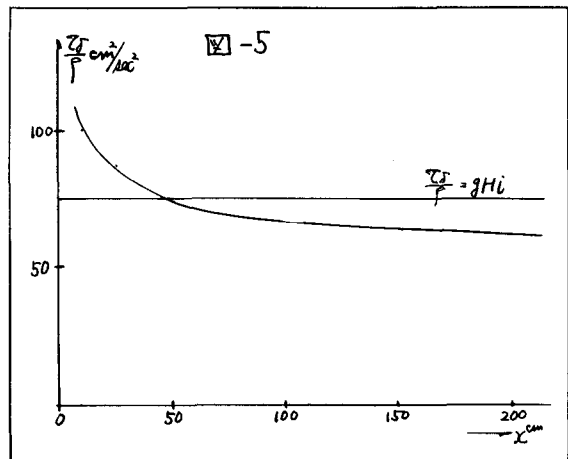
実験水路は長さ 15m、幅 0.4m の鋼製環流式可変勾配矩形断面水路である。 $x < 0$  領域の粗度としては 6m にわたっておかれた鋼板上に 10cm 間隔に  $0.8 \times 1.0 \text{ cm}$  の模擬粗度をはりつけたものを用い、 $x \geq 0$  領域は  $2 \text{ cm}$  型のモルタル模型の 2 層積みテトラポッドを用いた。内部境界層厚は詳細な流速分布の測定から決定した。(図-3) は流速分布の概略図であり、内部壁



界層厚は粗度 $\alpha$ の影響を受けていいる領域と粗度 $\alpha$ の影響をも保持している領域の速度分布の交差として決定した。このようにして求めた実測境界層厚と方程式(6)を数値積分で解いた結果の一例を(図-4)に示す。



上図は小さい $x$ の付近で計算値は実測値より発達が早い。これは主として境界面剪断力 $\tau_w$ の仮定と粗度の不連続面での縮流のために(2)式の中で圧力勾配を無視したことによる問題があるためである。(図-5)は実測境界層厚を用いて(6)式から $\tau_w$ を計算したものである。計算値は小さい $x$ では仮定値  $\tau_w = \rho g H l$  よりも大きく、大きい $x$ ではやはり小さい。この場合には平均的に内部境界層の発達は(6)式で表わされるがそれをどのようにみつめるかが問題として残る。(図-6)は  $x < 0$  領域の粗度が異なる場合について同一の水理条件下での内部境界層の発達状況を示す。Run 1 は  $x < 0$  の鋼板上に様粗度がなく、なめらかである。Run 2 は鋼板はなめらかであるが水路上流端に境界層の発達を促す格子を設けた場合、Run 3 は鋼板上に様粗度をつけた場合である。Run 3 は Run 1, Run 2 に比し内部境界層の発達はやや緩慢である。これは(図-5)に関する議論と同様に Run 3 の場合は他の実験ケースに比してかなり境界層の発達を抑えたためである。



1) Elliott W. P.: Trans. A. S. C., Vol. 39, No. 6, 1958; 2) 林義浩, 渡和夫: 第24回年譲, 昭和44年